

# Флуктуационно-электромагнитное взаимодействие движущихся частиц с цилиндрической поверхностью и каналом

© А.А. Кясов, Г.В. Дедков

Кабардино-Балкарский государственный университет,  
360000 Нальчик, Россия

E-mail: gv\_dedkov@kbsu.ru

(Поступила в Редакцию 14 июля 2000 г.)

В рамках флуктуационно-электромагнитной теории получены наиболее общие (нерелятивистские) аналитические формулы для динамических консервативных и диссипативных сил, действующих на нейтральный атом, движущийся параллельно образующей цилиндрической поверхности. Как и в случае плоской поверхности, имеется конечная, пропорциональная скорости тормозящая сила при  $T = 0$ .

Исследование динамического флуктуационно-электромагнитного взаимодействия (ФЭВ) атомов и молекул с плоскими и искривленными поверхностями представляет значительный интерес для нанотрибологии [1] и в связи с возможностью управления пучками частиц с помощью нанотрубок [2,3]. Кроме того, информация о силах ФЭВ необходима при изучении адсорбции частиц поверхностями нанотрубок и фуллеренов.

Настоящая статья является естественным продолжением наших работ [4–7], в которых были получены наиболее общие нерелятивистские формулы для сил притяжения и вязкого трения атомов и молекул, движущихся параллельно плоской поверхности. Диссипативные силы ФЭВ для цилиндрической поверхности при температуре  $T = 0$  впервые рассматривались в [8]. Цель данной работы — получение более общих формул для консервативных и диссипативных сил ФЭВ, действующих на нейтральный атом, движущийся с нерелятивистской скоростью  $V \ll c$  параллельно образующей выпуклой (вогнутой) цилиндрической поверхности в случае произвольной температуры.

## 1. Электрическое поле поверхности, индуцированное флуктуирующим атомным диполем

Как и в случае плоской поверхности [4–7], рассматриваем сферически симметричную атомную частицу с поляризуемостью  $\alpha(\omega)$ , а среду характеризуем диэлектрической функцией  $\varepsilon(\omega)$ . Рисунок, *a* отвечает движению над выпуклой цилиндрической поверхностью, рисунок, *b* — движению в цилиндрическом канале. Для определенности в разделах 1–3 будем иметь в виду первый случай, а второй рассмотрим в разделе 4.

Наши ограничения сводятся к требованию выполнения условий применимости дипольного приближения и пренебрежения запаздыванием ФЭВ. В случае, показанном на рисунке, *a*, эти требования ограничивают расстояния

$h = R - a$  между частицей и поверхностью интервалом значений  $r_0 \ll h \ll c/\omega_0$ , где  $r_0$  — характерный размер атома, а  $\omega_0$  — характерная частота возбуждения атомных электронов.

Обозначая вектор спонтанного дипольного момента частицы через  $\mathbf{d}^{\text{sp}}(t)$ , для вектора электрической поляризации, создаваемой в пространстве флуктуациями  $\mathbf{d}^{\text{sp}}(t)$ , имеем (здесь и далее пользуемся гауссовой системой единиц)

$$\begin{aligned} \mathbf{P}^{\text{sp}}(\mathbf{r}, t) &= \delta(x - R)\delta(y)\delta(z - Vt)\mathbf{d}^{\text{sp}}(t) \\ &= \frac{1}{r}\delta(r - R)\delta(\phi)\delta(z)\mathbf{d}^{\text{sp}}(t), \end{aligned} \quad (1)$$

где  $(r, \phi, z)$  — координаты частицы в цилиндрической системе. Уравнение Пуассона для потенциала электрического поля, создаваемого поляризацией (1) ( $\Delta\Phi = 4\pi \text{div } \mathbf{P}^{\text{sp}}$ ), записанное в цилиндрических коор-

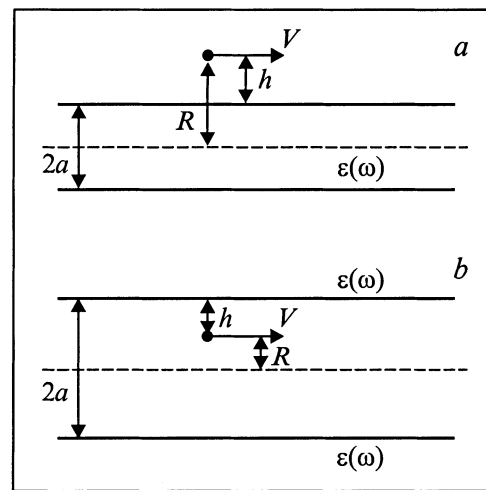


Схема движения нейтральной частицы. *a* — параллельно образующей выпуклой цилиндрической поверхности, *b* — внутри цилиндрического канала.

динахах, имеет вид

$$\begin{aligned} & \left( \frac{\partial^2}{\partial r^2} + \frac{1}{r} \frac{\partial}{\partial r} + \frac{1}{r^2} \frac{\partial^2}{\partial \phi^2} + \frac{\partial^2}{\partial z^2} \right) \Phi(z, \phi, z, t) \\ &= 4\pi \left( \frac{1}{r} \frac{\partial}{\partial r} \delta(r-R) \delta(\phi) \delta(z) d_r^{\text{sp}}(t) \right. \\ & \quad + \frac{1}{r} \frac{\partial}{\partial \phi} \frac{\delta(r-R)}{r} \delta(\phi) \delta(z) d_\phi^{\text{sp}}(t) \\ & \quad \left. + \frac{\partial}{\partial z} \frac{\delta(r-R)}{r} \delta(\phi) \delta(z) d_z^{\text{sp}}(t) \right), \end{aligned} \quad (2)$$

где  $d_r^{\text{sp}}(t)$ ,  $d_\phi^{\text{sp}}(t)$ ,  $d_z^{\text{sp}}(t)$  — соответствующие проекции вектора дипольного момента.

Решая (2) с учетом граничных условий непрерывности потенциала и нормальной составляющей электрической индукции, для вектора и компонент индуцированного электрического поля поверхности получим

$$\mathbf{E}^{\text{in}}(r, \phi, z, t) = \frac{1}{(2\pi)^3} \sum_{n=-\infty}^{\infty} \iint \mathbf{E}_{\omega k}^{\text{in}}(r) e^{in\phi} e^{i(kz-\omega t)} d\omega dk, \quad (3)$$

$$E_r^{\text{in}}(\omega k; r) = -\frac{d}{dr} u_n(\omega k; r), \quad (4a)$$

$$E_\phi^{\text{in}}(\omega k; r) = -\frac{in}{r} u_n(\omega k; r), \quad (4b)$$

$$E_z^{\text{in}}(\omega k; r) = -iku_n(\omega k; r), \quad (4c)$$

$$\begin{aligned} u_n(\omega k; r) = & -4\pi \Delta_n(\omega) \left( K_n(kr) K_n'(kR) k d_r^{\text{sp}}(\omega - kV) \right. \\ & + \frac{in}{R} K_n(kr) K_n(kR) d_\phi^{\text{sp}}(\omega - kV) \\ & \left. + ik K_n(kr) K_n(kR) d_z^{\text{sp}}(\omega - kV) \right), \end{aligned} \quad (5)$$

$$\Delta_n(\omega) = \frac{(\varepsilon(\omega) - 1) I_n(ka) I_n'(ka)}{\varepsilon(\omega) I_n'(ka) K_n(ka) - I_n(ka) K_n'(ka)}. \quad (6)$$

В целях упрощения записи аргумент  $k$  (а также  $a$ ) в формуле (6) и далее в (19) опущен.

Функции  $K_n(x)$ ,  $I_n(x)$  — цилиндрические функции порядка  $n$ , штрихи обозначают их производные. Функция  $\Delta_n(\omega)$  в (6) по своему физическому смыслу аналогична функции  $\Delta(\omega) = (\varepsilon(\omega) - 1)/(\varepsilon(\omega) + 1)$  для плоской поверхности [4–7].

Заменяя в уравнениях (4)–(6) Фурье-компоненты дипольного момента на соответствующие квантово-механические компоненты оператора дипольного момента, далее будем трактовать (3) как определение оператора индуцированного электрического поля поверхности в гейзенберговском представлении. Операторный смысл имеют также все остальные векторные величины.

## 2. Консервативный потенциал взаимодействия частицы с поверхностью

Аналогично случаю плоской поверхности [4–7] в дипольном приближении динамический потенциал взаимодействия атома с поверхностью представляем в виде суммы двух независимых частей

$$U_{\text{int}} = -\frac{1}{2} \langle \mathbf{dE} \rangle = -\frac{1}{2} \langle \mathbf{d}^{\text{sp}} \mathbf{E}^{\text{in}} \rangle - \frac{1}{2} \langle \mathbf{d}^{\text{in}} \mathbf{E}^{\text{sp}} \rangle = U_1 + U_2, \quad (7)$$

где первое и второе слагаемые обусловлены соответственно спонтанными флуктуациями дипольного момента атома и электрического поля поверхности.

Для нахождения  $U_1$  оператор  $\mathbf{d}^{\text{sp}}(t)$  разлагаем в интеграл Фурье и подставляем в (7) вместе с оператором электрического поля в точке нахождения частицы  $\mathbf{E}^{\text{in}}(R, 0, Vt)$ , а возникающие корреляторы дипольного момента раскрываем стандартным образом с помощью флуктуационно-диссипационной теоремы (ср. с [6,7])

$$\begin{aligned} \langle d_i^{\text{sp}}(\omega) d_k^{\text{sp}}(\omega') \rangle &= 2\pi \delta_{ik} \delta(\omega + \omega') \\ & \quad \times h\alpha''(\omega) \text{cth}(\omega\hbar/2k_B T). \end{aligned} \quad (8)$$

Принимая во внимание аналитические свойства функций  $\alpha(\omega)$ ,  $\varepsilon(\omega)$ , связанные с четностью действительных и нечетностью мнимых частей, после ряда преобразований приводим выражение для  $U_1$  к виду

$$\begin{aligned} U_1(R, V) = & -\frac{\hbar}{2\pi^2 R^2} \sum_{n=-\infty}^{\infty} \iint d\omega dk K_n^2(kR) \\ & \times [n^2 + (kR)^2 + (kR)^2 \Phi_n^2(kR)] \text{cth}(\omega\hbar/2k_B T) \\ & \times \alpha''(\omega) [\Delta_n'(\omega - kV) + \Delta_n'(\omega + kV)], \end{aligned} \quad (9)$$

где  $\Phi_n(z) \equiv d/dz \ln K_n(z)$  — логарифмическая производная функции Макдональда. Функции  $\alpha(\omega)$ ,  $\Delta(\omega)$  с одним и двумя штрихами в (9) и далее обозначают их действительные и мнимые части.

Для нахождения потенциала  $U_2$  оператор  $\mathbf{d}^{\text{in}}(t)$  разлагаем в частотный интеграл Фурье,  $\mathbf{E}^{\text{sp}}$  — в интеграл Фурье по  $\omega$ ,  $k$  и в ряд Фурье по угловой переменной  $\phi$ , а затем подставляем в (7). Поступая далее так же как при выводе аналогичного выражения в случае плоской поверхности [6,7], для возникающей в ходе расчета спектральной корреляционной функции электрического поля (в точке нахождения частицы ( $r = R$ )) получим выражение

$$\begin{aligned} \langle \mathbf{E}_{\omega k}^{\text{sp}}(R) \mathbf{E}_{\omega' k'}^{\text{sp}}(R) \rangle &= (2\pi)^2 \delta(\omega + \omega') \delta(k + k') \\ & \quad \times \frac{2\hbar}{R^2} \text{cth}(\omega\hbar/2k_B T) \sum_{n=-\infty}^{\infty} K_n^2(kR) \\ & \quad \times [n^2 + (kR)^2 + (kR)^2 \Phi_n^2(kR)] \Delta_n''(\omega). \end{aligned} \quad (10)$$

Используя (10) и интегрируя выражение для потенциала по переменным  $\omega'$ ,  $k'$ , с учетом аналитических свойств поляризуемости и диэлектрической функции находим

$$U_2(R, V) = -\frac{\hbar}{2\pi^2 R^2} \sum'_{n=-\infty}^{\infty} \iint d\omega dk K_n^2(kR) \times [n^2 + (kR)^2 + (kR)^2 \Phi_n^2(kR)] \text{cth}(\omega\hbar/2k_B T) \times \Delta_n''(\omega) [\alpha'(\omega - kV) + \alpha'(\omega + kV)]. \quad (11)$$

И наконец, суммируя выражения (9) и (11), окончательно получаем

$$U_{\text{int}}(R, V) = -\frac{\hbar}{\pi^2 R^2} \sum'_{n=0}^{\infty} \iint d\omega dk K_n^2(kR) \times [n^2 + (kR)^2 + (kR)^2 \Phi_n^2(kR)] \text{cth}(\omega\hbar/2k_B T) \times \left( \Delta_n''(\omega) [\alpha'(\omega - kV) + \alpha'(\omega + kV)] + \alpha''(\omega) [\Delta_n'(\omega - kV) + \Delta_n'(\omega + kV)] \right). \quad (12)$$

Штрих над знаком суммы в (11), (12) (а также в аналогичных формулах далее) означает, что слагаемое с  $n = 0$  берется с половинным весом. Интегрирование осуществляется по положительным частотам и значениям волновых векторов. Полученный результат обобщает известное выражение для статического потенциала ван-дер-ваальсова притяжения нейтральной сферически-симметричной частицы к цилиндрической поверхности при нулевой температуре [9–11]. В самом деле, полагая в (12)  $V = 0$ ,  $T = 0$ , получим

$$U_{\text{int}}(R) = -\frac{\hbar}{\pi^2 R^2} \sum'_{n=0}^{\infty} \int_0^{\infty} dk K_n^2(kR) \times [n^2 + (kR)^2 + (kR)^2 \Phi_n^2(kR)] \text{Im} \int_0^{\infty} d\omega \alpha(\omega) \Delta_n(\omega). \quad (13)$$

Частотный интеграл в (13) после поворота контура интегрирования на  $90^\circ$  приводится к виду

$$\text{Im} \int_0^{\infty} d\omega \alpha(\omega) \Delta_n(\omega) = \int_0^{\infty} d\omega \alpha(i\omega) \Delta_n(i\omega),$$

поэтому с учетом (6) формула (13) приводится к форме, совпадающей с результатами работ [9–11],

$$U_{\text{int}}(R) = -\frac{\hbar}{\pi^2 R^2} \sum'_{n=0}^{\infty} \int_0^{\infty} dk K_n^2(kR) [n^2 + (kR)^2 + (kR)^2 \Phi_n^2(kR)] \int_0^{\infty} \frac{\alpha(i\omega) (\varepsilon(i\omega) - 1) I_n'(ka) I_n(ka)}{\varepsilon(i\omega) K_n(ka) I_n'(ka) - K_n'(ka) I_n(ka)} d\omega. \quad (14)$$

### 3. Вычисление силы трения

Латеральная тормозящая сила, действующая на частицу (сила трения), в случае стационарного движения связана с джоулевой диссипацией энергии флуктуационного электромагнитного поля, отнесенной к единице времени,

$$-\frac{dW}{dt} = FV = \int \langle \mathbf{jE} \rangle d\mathbf{r} = \int \langle \mathbf{j}^{\text{sp}} \mathbf{E}^{\text{in}} \rangle d\mathbf{r} + \int \langle \mathbf{j}^{\text{in}} \mathbf{E}^{\text{sp}} \rangle d\mathbf{r}. \quad (15)$$

Отдельные слагаемые (15), так же как и в (7), обусловлены вкладами флуктуирующего дипольного момента атома и флуктуационного электромагнитного поля поверхности соответственно, причем  $\mathbf{j}^{\text{sp}} = \partial \mathbf{P}^{\text{sp}} / \partial t$ ,  $\mathbf{P}^{\text{sp}}$  определяется формулой (1), а  $\mathbf{j}^{\text{in}}$  выражается через  $\mathbf{E}^{\text{sp}}$  линейным интегральным соотношением. Проводя вычисления, аналогичные тем, что были сделаны при нахождении потенциала притяжения, с учетом флуктуационно-диссипационных соотношений (8), (10) получим

$$F(R, V) = \frac{2\hbar}{\pi^2 R^2 V} \sum'_{n=0}^{\infty} \iint d\omega dk K_n^2(kR) \times [n^2 + (kR)^2 + (kR)^2 \Phi_n^2(kR)] \text{cth}(\omega\hbar/2k_B T) \times \left\{ (\omega + kV) [\Delta_n''(\omega) \alpha''(\omega + kV) - \Delta_n''(\omega + kV) \alpha''(\omega)] + (\omega - kV) [\Delta_n''(\omega) \alpha''(\omega - kV) - \Delta_n''(\omega - kV) \alpha''(\omega)] \right\}. \quad (16)$$

Формула (16) обобщает результат работы [8] на случай конечных температур и произвольных нерелятивистских скоростей. Структура выражения в фигурных скобках (16) (а выше в (12)) такая же, как и при вычислении силы трения (и потенциала притяжения) в случае плоской поверхности [6,7].

### 4. Атом, движущийся в цилиндрическом канале

Перейдем к рассмотрению движения частицы в цилиндрическом канале (см. рисунок, *b*). Все обозначения сохраняем такими же, как и в случае, показанном на рисунке, *a*, но поскольку теперь  $a > R$ , величина  $h$  определяется как  $h = a - R$ .

Не повторяя подробностей расчетов, аналогичных случаю выпуклой поверхности, заметим, что конечные выражения для потенциала притяжения и силы трения получаются из (12) и (16) простой заменой функций Макдональда на модифицированные функции Бесселя и

наоборот. В результате получим

$$U_{\text{int}}(R, V) = -\frac{\hbar}{\pi^2 R^2} \sum_{n=0}^{\infty} \int \int d\omega dk I_n^2(kR) \times [n^2 + (kR)^2 + (kR)^2 \Psi_n^2(kR)] \text{cth}(\omega \hbar / 2k_B T) \times \left( \tilde{\Delta}_n''(\omega) [\alpha'(\omega - kV) + \alpha'(\omega + kV)] + \alpha''(\omega) [\tilde{\Delta}_n'(\omega - kV) + \tilde{\Delta}_n'(\omega + kV)] \right), \quad (17)$$

$$F(R, V) = \frac{2\hbar}{\pi^2 R^2 V} \sum_{n=0}^{\infty} \int \int d\omega dk I_n^2(kR) \times [n^2 + (kR)^2 + (kR)^2 \Psi_n^2(kR)] \text{cth}(\omega \hbar / 2k_B T) \times \left( (\omega + kV) [\tilde{\Delta}_n''(\omega) \alpha''(\omega + kV) - \tilde{\Delta}_n''(\omega + kV) \alpha''(\omega)] + (\omega - kV) [\tilde{\Delta}_n''(\omega) \alpha''(\omega - kV) - \tilde{\Delta}_n''(\omega - kV) \alpha''(\omega)] \right), \quad (18)$$

где  $\Psi_n(z) \equiv d/dz \ln I_n(z)$ , а  $\tilde{\Delta}_n''(\omega)$  имеет вид

$$\tilde{\Delta}_n''(\omega) = \frac{(\varepsilon(\omega) - 1) K_n(ka) K_n'(ka)}{\varepsilon(\omega) K_n(ka) I_n(ka) - K_n(ka) I_n'(ka)}. \quad (19)$$

Формула (17) также обобщает результаты работ [9–11], полученных для статического потенциала притяжения в цилиндрическом канале при  $T = 0$ , и позволяет проводить вычисление потенциала ван-дер-Ваальса для конечных скоростей и температур. Действительно, полагая в (17)  $V = 0$  и  $T = 0$  и совершая преобразования, аналогичные сделанным при выводе (14), получим формулу, идентичную приведенным в [9–11],

$$U_{\text{int}}(R) = -\frac{2\hbar}{\pi^2 R^2} \sum_{n=0}^{\infty} \int_0^{\infty} dk I_n^2(kR) [n^2 + (kR)^2 + (kR)^2 \Psi_n^2(kR)] \times \int_0^{\infty} \frac{\alpha(i\omega) (\varepsilon(i\omega) - 1) K_n'(ka) K_n(ka)}{\varepsilon(i\omega) I_n(ka) K_n'(ka) - I_n'(ka) K_n(ka)} d\omega. \quad (20)$$

Переход к приближению малых скоростей в (12) и (16)–(18) делается так же, как и в случае плоской поверхности [4–7]. Так, в линейном приближении по скорости (18) преобразуется к виду

$$F(R, V) = \frac{\hbar V}{\pi^2 R^2} \times \sum_{n=0}^{\infty} \int k^2 C_n(k) [n^2 + (kR)^2 + (kR)^2 \Psi_n^2(kR)] dk, \quad (21)$$

$$C_n(k) = I_n^2(kR) \int_0^{\infty} d\omega \left\{ 2 \left[ \alpha''(\omega) \frac{d\tilde{\Delta}_n''(\omega)}{d\omega} - \tilde{\Delta}_n''(\omega) \frac{d\alpha''(\omega)}{d\omega} \right] + \omega \left[ \alpha''(\omega) \frac{d^2 \tilde{\Delta}_n''(\omega)}{d\omega^2} - \tilde{\Delta}_n''(\omega) \frac{d^2 \alpha''(\omega)}{d\omega^2} \right] \right\} \text{cth} \left( \frac{\omega \hbar}{2k_B T} \right). \quad (22)$$

Заметим, что зависимость коэффициента  $C_n(k)$  от волнового вектора обусловлена не только множителем, стоящим перед интегралом, но и соответствующей зависимостью функций  $\tilde{\Delta}_n''(\omega)$  (см. (19)). В целом разложение латеральной силы по скорости содержит только нечетные степени, а разложение нормальной силы притяжения к поверхности — четные (начиная с нулевой степени).

Для проведения практических расчетов по формулам (21), (22) в функции  $\tilde{\Delta}_n''(\omega)$  целесообразно вынести зависящие от волнового вектора множители в числителе и знаменателе, объединив их с квадратом функции Бесселя  $I_n^2(x)$ , тогда (22) примет вид

$$C_n(k) = A_n(k) \int_0^{\infty} d\omega \left\{ 2 \left[ \alpha''(\omega) \frac{dD_n(\omega, k)}{d\omega} - D_n(\omega, k) \frac{d\alpha''(\omega)}{d\omega} \right] + \omega \left[ \alpha''(\omega) \frac{d^2 D_n(\omega, k)}{d\omega^2} - D_n(\omega, k) \frac{d^2 \alpha''(\omega)}{d\omega^2} \right] \right\} \text{cth} \left( \frac{\omega \hbar}{2k_B T} \right), \quad (23)$$

$$D_n(\omega, k) = \text{Im} \frac{\varepsilon(\omega) - 1}{\varepsilon(\omega) + B_n(k)}, \quad (24)$$

$$A_n(k) = I_n^2(kR) K_n(ka) / I_n(ka), \quad (25)$$

$$B_n(k) = -\frac{K_n(ka) I_n'(ka)}{K_n'(ka) I_n(ka)}. \quad (26)$$

Используя асимптотику цилиндрических функций при больших значениях аргумента, нетрудно показать, что при  $ka, kR \gg 1$  имеем  $\Psi_n^2(kR) \rightarrow 1$ ,  $B_n(k) \rightarrow 1$  и  $A_n(k) \rightarrow \exp(-2kh)/2kR$ . При этом зависимость получаемой в (21) подынтегральной функции от  $h$  и от  $\varepsilon(\omega)$  такая же как и для плоской поверхности, но тем не менее предельный переход к плоскому случаю при  $R \rightarrow \infty$  не является тривиальным, поскольку в сумму цилиндрических функций в правой части (21) значительный вклад вносят члены с большими номерами  $n$ . Суммирование этого ряда представляет отдельную задачу.

Линейная температурная зависимость интеграла (23), если не учитывать возможное влияние температуры на функцию  $\varepsilon(\omega)$ , проявляется только в области низких частот, когда  $\text{cth}(\omega \hbar / 2k_B T) \rightarrow 2k_B T / \omega \hbar$ . Если же спектры поглощения частицы и поверхности перекрываются в высокочастотной области, то  $\text{cth}(\omega \hbar / 2k_B T) \rightarrow 1$  и,

проводя в (23) интегрирование по частям, получим

$$C_n(k) = -2A_n(k) \int_0^{\infty} d\omega \alpha''(\omega) \frac{dD_n(\omega, k)}{d\omega}. \quad (27)$$

Таким образом, при  $T = 0$  всегда имеется конечная сила трения.

Итак, используя минимальное число ограничений, мы получили наиболее общие нерелятивистские формулы для консервативных (притягивающих) и диссипативных (тормозящих) флуктуационно-электромагнитных сил, действующих на нейтральный атом, движущийся параллельно образующей цилиндрической поверхности. Формулы позволяют проводить расчеты этих сил для произвольных скоростей частиц, температуры поверхности и диэлектрических свойств частицы и поверхности. При нулевой скорости и температуре формулы для консервативного потенциала (потенциала ван-дер-Ваальса) совпадают с известными результатами других авторов.

Разложение флуктуационных сил в степенной ряд по скорости идет по четным степеням для притягивающих (консервативных) и по нечетным для диссипативных сил, что аналогично случаю плоской поверхности, причем при  $T = 0$  всегда имеется отличный от нуля вклад в обе силы.

## Список литературы

- [1] Г.В. Дедков. УФН **170**, 6, 585 (2000).
- [2] G.V. Dedkov. Nucl. Instr. Meth. **B143**, 8, 584 (1998).
- [3] G.V. Dedkov, B.S. Karamurzov. Surf. coat. Tech. *128/129*, 51 (2000).
- [4] G.V. Dedkov, A.A. Kyasov. Phys. Lett. **A259**, 8, 38 (1999).
- [5] Г.В. Дедков, А.А. Кясов. Письма в ЖТФ **25**, 12, 10 (1999).
- [6] А.А. Кясов, G.V. Dedkov. Surf. Sci. (2000), in press.
- [7] Г.В. Дедков, А.А. Кясов. ФТТ **43**, 1, 169 (2001).
- [8] А.А. Кясов. Деп. ВИНТИ № 1407-B91 (1991).
- [9] M. Schmeits, A.A. Lucas. Surf. Sci. **64**, 10, 176 (1977).
- [10] M. Schmeits, A.A. Lucas. Prog. Surf. Sci. **14**, 1, 1 (1983).
- [11] В.М. Набутовский, В.Р. Белослудов, А.М. Коротких. ЖЭТФ **77**, 2(8), 700 (1979).